

بررسی آزمایشگاهی اثر شعاع انحنا و موقعیت استقرار آبشکن های T شکل در قوس ۹۰ درجه بر میزان آبستگي اطراف آنها

محمد واقفی^{۱*}، مسعود قدسیان^۲، سید علی اکبر صالحی نیشابوری^۳

۱- استادیار سازه‌های هیدرولیکی گروه مهندسی عمران، دانشگاه خلیج فارس، بوشهر

۲- استاد هیدرولیک، پژوهشکده مهندسی آب، دانشگاه تربیت مدرس

۳- استاد سازه‌های هیدرولیکی، پژوهشکده مهندسی آب، دانشگاه تربیت مدرس

* بوشهر، دانشگاه خلیج فارس

vaghefi@PGU.ac.ir

چکیده- آبشکن سازه‌ای هیدرولیکی است که برای حفاظت از سواحل رودخانه به‌کار می‌رود. تحلیل جریان و آبستگي پیرامون آبشکن‌های مستقر در قوس خارجی رودخانه‌ها به‌علت وجود جریانهای ثانویه و حلزونی، پیچیدگی زیادی دارد. در این مقاله به تأثیر موقعیت استقرار آبشکن T شکل در قوس ۹۰ درجه بر میزان آبستگي و تأثیر شعاع انحنای قوس بر تغییرات توپوگرافی بستر پرداخته شده است. برای این منظور از یک فلوم مستطیلی به عمق ۷۰ سانتیمتر و عرض ۶۰ سانتیمتر و با چند شعاع مرکزی متفاوت ($R/B=2,3,4$) استفاده شده است. کانال اصلی شامل مسیر مستقیم بالادست به طول ۷/۱ متر و مسیر مستقیم پایین‌دست به طول ۵/۲ متر است که یک قوس ۹۰ درجه این دو مسیر مستقیم را به هم متصل کرده است. دیوار و کف فلوم شیشه‌ای بوده و توسط قابهای فلزی پایدار شده است. طول کانال از رسوب با قطر متوسط ۱/۲۸ میلی‌متر و به عمق ۰/۳۵ متر پوشیده شده است. آزمایشها تحت جریان با دبی ثابت ۲۵ لیتر بر ثانیه انجام شده و نتایج بیانگر آن است که وقتی آبشکن در موقعیت ۷۵ درجه قرار می‌گیرد، آبستگي حداکثر است. همچنین هرچه شعاع انحنای قوس بیشتر شود، میزان آبستگي افزایش می‌یابد، اما از گسترش چاله آبستگي در عرض کانال کاسته می‌شود.

کلید واژگان: آبشکن T شکل، الگوی آبستگي، قوس، شعاع انحنای قوس.

۱- مقدمه

می‌شود. رسوب خروجی از اطراف آبشکن می‌تواند تأثیر زیادی بر توپوگرافی بستر رودخانه‌ها به‌ویژه در پایین‌دست محل استقرار آبشکن داشته باشد. در مسیرهای قوسی نیز به‌دلیل وجود جریانهای ثانویه و ترکیب آن با

استفاده از آبشکن‌ها در تثبیت سواحل رودخانه‌ها یکی از راههای مؤثر در پایدارسازی ساحل است، اما وجود آبشکن در مسیر جریان، باعث ایجاد آبستگي موضعی

دارد، در حالی که بر تنش برشی بیشینه در دماغه آبشکن تأثیر قابل توجهی ندارد. Mesbahi در ۱۹۹۲ قوس را به گونه‌ای تنظیم کرد که عرض جریان در جلوی آبشکن نسبت به حالت بدون آبشکن تغییری نکند و نتیجه گرفت که احداث آبشکن در قوس‌ها عمق چاله آبستگی را عمیق‌تر می‌کند. Soliman و همکاران در ۱۹۹۷ به بررسی آزمایشگاهی و عددی تأثیر آبشکن بر مورفولوژی قوس‌های رودخانه نیل پرداختند و یک مدل دو بعدی را برای تأثیر آبشکن و مؤلفه‌های سرعت ارائه کردند. Giri و همکاران در ۲۰۰۴ به صورت آزمایشگاهی و عددی با اندازه‌گیری سرعت و تغییر دادن موقعیت آبشکن، به بررسی تأثیر آن بر میدان جریان در اطراف آبشکن بسته در کانال قوسی پرداختند. Fazli و همکاران در ۲۰۰۷ به بررسی آزمایشگاهی تأثیر موقعیت استقرار آبشکن‌های مستقیم در قوس ۹۰ درجه پرداختند. Forghani و همکاران در سال ۲۰۰۷ به مطالعه آزمایشگاهی الگوی جریان و آبستگی پیرامون آبشکن‌های مستقیم و مستقر در قوس ۹۰ درجه اقدام کردند. قدسیان و همکاران در ۲۰۰۹ به مطالعه آزمایشگاهی الگوی جریان و آبستگی پیرامون آبشکن T شکل مستقر در قوس ۹۰ درجه پرداخته و سعی در برقراری نوعی ارتباط بین الگوی جریان و آبستگی کردند. واقفی و همکاران در ۱۳۸۷ و ۱۳۸۸ به بررسی ابعاد چاله آبستگی و تغییرات توپوگرافی بستر پیرامون آبشکن T شکل، تحت تأثیر تغییرات پارامترهایی نظیر طول آبشکن، طول بال آبشکن، شکل بال آبشکن و عدد فرود جریان پرداختند و روابطی مناسب را برای تأثیر این پارامترها بر میزان آبستگی ارائه کردند. بررسی مطالعات گذشته، بیانگر کمبود تحقیقات در زمینه آبشکن‌های مستقر در قوس می‌باشد. در زمینه آبستگی اطراف آبشکن T شکل در قوس نیز مطالعات

جریانهای طولی، جریانهای ماریچی موسوم به جریان حلزونی تشکیل می‌شود. این جریانها باعث فرسایش شدید ساحل خارجی، به‌ویژه در سواحل فرسایش‌پذیر می‌شود. استقرار آبشکن‌ها در ساحل خارجی رودخانه‌ها می‌تواند در کاهش فرسایش پذیری کناره‌ها مؤثر باشد. هنگامی که از آبشکن‌ها برای محافظت جداره رودخانه در خم‌ها استفاده می‌شود، تحلیل جریان و آبستگی در اطراف آبشکن‌های استفاده شده در قوس خارجی بسیار پیچیده‌تر و مشکل‌تر می‌شود که علت آن اندرکنش بین الگوی جریان در قوس و الگوی جریان اطراف آبشکن و تأثیر جریانهای حلزونی در قوس است.

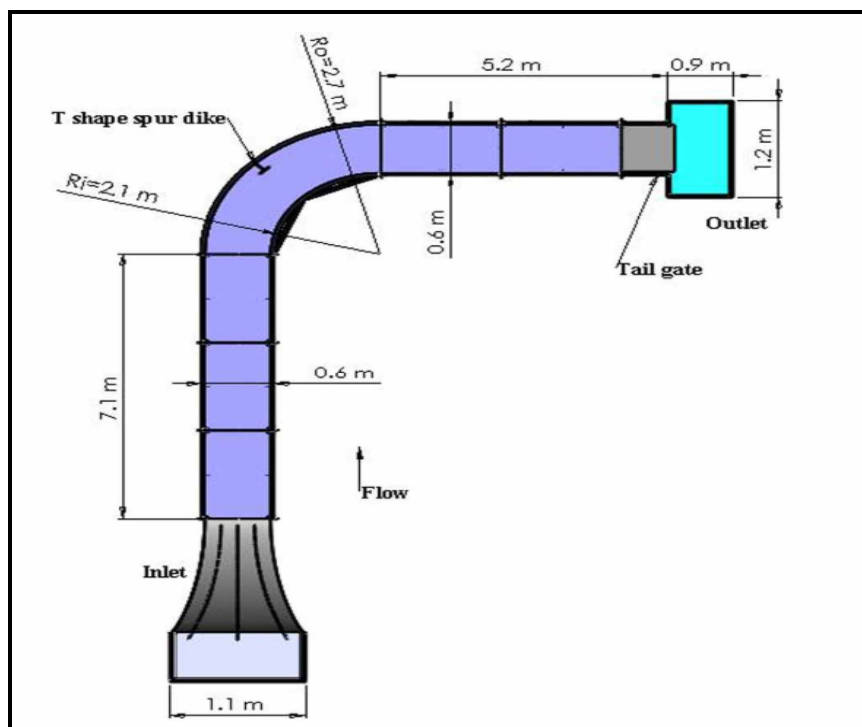
مطالعات گذشته بیشتر بر روی آبشکن‌های مستقر در مسیرهای مستقیم متمرکز بوده و بیشتر به بررسی تغییرات آبستگی بیشینه و هندسه چاله آبستگی پرداخته شده است. در مورد قوس‌ها و کاربرد آبشکن در محل قوس، تحقیقات زیادی انجام نشده و در مطالعات گذشته نیز توپوگرافی پایین دست قوس کمتر مدنظر محققان بوده است. اولین تحقیق در مورد به‌کارگیری آبشکن در قوس توسط Ahmad در سالهای ۱۹۵۱ و ۱۹۵۳ انجام شد. وی با تغییر پارامترهای دبی جریان، نسبت انقباض، شکل آبشکن، موقعیت استقرار در قوس، زاویه آبشکن و دانه‌بندی رسوب در کانال مستقیم و قوسی، به بررسی عمق بیشینه آبستگی پرداخت. Gill در ۱۹۷۲ با تغییر شعاع انحنا قوس عمق جریان و قطر ذرات در کانال مستقیم و قوسی نشان داد که فاصله بین آبشکن‌ها، وابستگی زیادی به شعاع انحنا قوس دارد. Tingaschnali و Maheswaran در ۱۹۹۰ به اصلاح ضرایب مربوط در مدل عددی k-ε با توجه به انحنا خطوط جریان در قوس و در اطراف آبشکن پرداختند و نتیجه گرفتند که این ضریب تأثیر زیادی بر سرعت جریان

انحنای خارجی ۲/۷ متر (قوس ملایم) متصل شده‌اند. کانال از شیشه ساخته شده و توسط قاب‌هایی فولادی پایداری آن حفظ می‌شود. ارتفاع کانال برابر ۷۰ سانتی‌متر و عرض آن برابر ۶۰ سانتی‌متر است. کف کانال از رسوبهایی با قطر متوسط ۱/۲۸ میلی‌متر و انحراف معیار ۱/۳ میلی‌متر پوشیده شده است. با تعویض قوس ملایم و استقرار قوس با شعاع انحنای خارجی برابر ۲/۱ متر (قوس متوسط) و ۱/۵ متر (قوس تند) به بررسی تأثیر شعاع انحنای قوس بر میزان آبستنگی پیرامون آبشکن‌های مستقر در موقعیت‌های مختلف پرداخته شده است. دبی جریان به وسیله یک روزنه کالیبره شده تنظیم شد. همچنین عمق جریان و پروفیل بستر با استفاده از دستگاه لیزری اندازه‌گیری پروفیل بستر با دقت ۰/۰۰۱ میلی‌متر اندازه‌گیری شد.

محدودی انجام شده و به بررسی یک یا چند پارامتر مؤثر بر الگوی جریان یا آبستنگی اکتفا شده است. هدف اصلی این تحقیق، بررسی تأثیر دو پارامتر مهم و تأثیرگذار موقعیت استقرار آبشکن T شکل و شعاع انحنای قوس، بر ابعاد چاله آبستنگی اطراف آن و تغییرات توپوگرافی بستر کانال در پایین‌دست آبشکن است.

۲- آزمایشها

آزمایشهای مورد نظر در کانالی با قوس ۹۰ درجه در آزمایشگاه هیدرولیک دانشگاه تربیت مدرس انجام شده است. شکل ۱ پلان و هندسه قوس مورد نظر را نشان می‌دهد. کانال نشان داده شده در شکل ۱ از یک قسمت مستقیم به طول ۷/۱ متر در بالادست و قسمت مستقیمی با طول ۵/۲ متر در پایین‌دست تشکیل می‌شود. این دو مسیر مستقیم در مرحله اول توسط قوس ۹۰ درجه‌ای با شعاع



شکل ۱ موقعیت و هندسه کانال

لایه‌های پایین خود را به دماغه آبشکن T شکل می‌رسانند و تعدادی گردابه عمودی که محور آنها عمود بر مسیر جریان آب است، تشکیل می‌شود و همزمان با آن نیز، گردابه‌های افقی ناشی از جریان لایه‌های پایین در محل تماس آبشکن با سطح بستر در بالادست و در داخل محدوده بال و جان آبشکن در جهت خلاف عقربه‌های ساعت تشکیل می‌شود. گردابه‌های قائم به جداسازی رسوبها از بستر می‌پردازند و گردابه‌های افقی رسوبهای جدا شده را به خارج از سطح چاله در حال تشکیل شدن پرتاب می‌کند. این گردابه‌ها عامل اصلی ایجاد آبشستگی در دماغه بالادست آبشکن است. در محل استقرار آبشکن به علت کاهش عرض مقطع جریان، سرعت جریان بیشتر می‌شود و این به مفهوم کاسته شدن فشار در فاصله بین بالادست آبشکن و مقطع جریان مقابل بال آبشکن است. این باعث می‌شود که در دماغه آبشکن تمرکز تنش ایجاد شده و آبشستگی از این ناحیه شروع شود و رسوبهای جدا شده از بستر به سمت پایین دست حرکت کند. بر این اساس، بخش بزرگی از رسوبها (رسوبهای دسته اول) از نزدیکی دیوار خارجی بال آبشکن و بر روی شیب پایین دست آبشکن حرکت کرده و به سمت ساحل خارجی می‌روند. این رسوبها در فاصله حدود ناحیه اتصال مجدد جریان در لایه نزدیک بستر، به ساحل خارجی می‌رسند و مسیر حرکت آنها تقریباً بر مکان هندسی خط اتصال مجدد جریان منطبق است. پس از رسیدن به این منطقه از ساحل خارجی، و با ادامه حرکت رسوبهای پایین دست به این ناحیه، پشته رسوبی تشکیل شده و در ادامه در طول قوس و در نزدیکی ساحل خارجی (ناحیه A از شکل ۲-ب) توسعه می‌یابد. همچنین به دلیل ریزش جریان از روی پشته رسوبی ایجاد شده بر روی بستر اولیه و تشکیل گردابه‌های کوچک و

برای کنترل جریان از دریچه‌ای قطاعی - که در انتهای کانال نصب شده - استفاده شد. آبشکن‌ها به صورت صفحاتی مستطیلی با پلان T شکل و از جنس پلکسی گلاس ساخته شد.

طول آبشکن‌ها برابر ۹ سانتی‌متر و طول بال آنها برابر ۹ سانتی‌متر (۱۵ درصد عرض کانال) است. ضخامت آبشکن‌ها برابر ۱ سانتی‌متر و ارتفاع آنها برابر ۶۵ سانتی‌متر در نظر گرفته شد. به منظور تعیین اثر موقعیت استقرار آبشکن آزمایشهایی در چهار موقعیت متفاوت ۳۰، ۴۵، ۶۰ و ۷۵ درجه‌ای در قوس خارجی هر سه قوس طراحی و اجرا شد. دبی جریان در تمامی آزمایشها ثابت و برابر ۲۵ لیتر بر ثانیه بود. در تمامی آزمایشها شرایط آب تمیز حاکم بود. به منظور تعیین زمان تعادل، یک آزمایش ۱۲۰ ساعته برای آبشکن در موقعیت استقرار ۷۵ درجه انجام شد. زمان انجام هر آزمایش مدت زمان معادل ۰/۸۸ زمان رسیدن به عمق بیشینه آبشستگی در آزمایش زمان تعادل ۱۲۰ ساعته در نظر گرفته شد که برای هر آزمایش ۲۴ ساعت است. در این زمان میزان آبشستگی در فواصل زمانی ۴ ساعته کمتر از ۲ میلیمتر بوده است. فواصل مقاطع اندازه‌گیری توپوگرافی بستر از ۰/۵ درجه تا ۵ درجه متغیر است که این مقدار در نزدیکی آبشکن‌ها تحت شبکه‌بندی ریزتر قرار دارد. تعداد مقاطع عرضی برداشت شده در هر آزمایش بین ۶۰ تا ۸۰ مقطع و تعداد مقاطع طولی برابر ۶۰ مقطع بود.

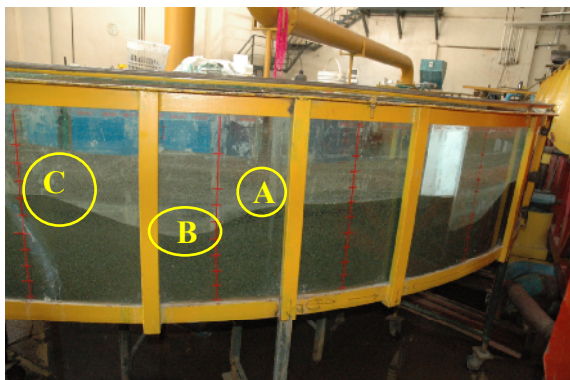
۳- سازوکار الگوی جریان و آبشستگی پیرامون آبشکن

در ابتدای هر آزمایش جریانهای لایه‌های بالایی سطح آب به صورت جریان رو به پایین عمل می‌کنند و به علت اصطکاک کمتر با لایه‌های مجاور، زودتر از جریانهای

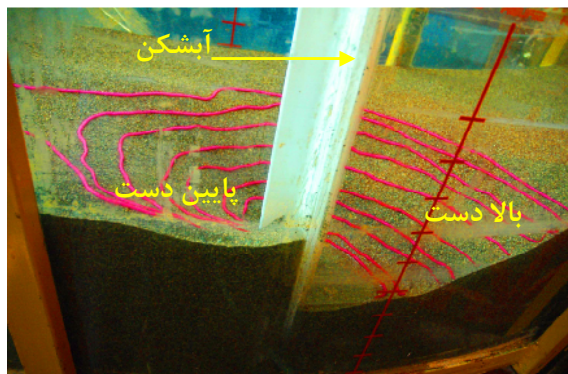
ساحل داخلی بیشترین مقدار را دارد و در پایین دست آن نیز به دلیل وجود گردابه‌های ضعیف، چاله آبستگي به صورت محسوس تشکیل نمی‌شود. قسمت دیگری از رسوبها (رسوبهای دسته سوم) در محدوده وسط کانال و ناشی از جریانهای ایجاد شده در جلوی بال آبشکن به سمت پایین دست حرکت می‌کند. این رسوبها در طی مسیر خود در پایین دست آبشکن و در طول قوس، سازوکاری مانند رسوبهای دسته اول دارند، با این تفاوت که در ابتدای آزمایش به دلیل سرعت بیشتر حرکت آنها (در مسیر جریان اصلی کانال بودن)، پشته رسوبی و چاله آبستگي پایین دست آن تشکیل نمی‌شود و جابه‌جایی رسوبها به صورت حرکت دیون‌ها مشاهده می‌شود. پس از طی زمانی در حدود ۱۰ درصد زمان تعادل (برای آبشکن مستقر در نیمه اول قوس) و با کاهش نرخ حرکت رسوبها، تشکیل پشته رسوبی و چاله آبستگي پایین دست آن آغاز می‌شود. با توسعه پشته رسوبی و چاله آبستگي پایین دست آن به سمت انتهای قوس، از ارتفاع پشته رسوبی و عمق چاله آبستگي دوم کاسته می‌شود. علت این پدیده آن است که با خروج جریان از قوس و ورود به مسیر مستقیم پایین دست، سطح آب پایین افتاده و گرادیان منفی فشار در خروجی کانال قوسی ایجاد می‌شود که به افزایش حرکت رسوبها منجر می‌شود و در نتیجه رسوبهای پشته رسوبی به درون چاله آبستگي پایین دست خود ریخته و باعث کاهش عمق چاله آبستگي دوم می‌شود، به طوری که در بعضی آزمایشها چاله آبستگي دوم کاملاً محو می‌شود. در شکل ۲-۲ د پشته‌های رسوبی مشخص شده با حروف E و F در مسیر مستقیم بعد از قوس، مؤید این پدیده است.

عمودی با محوری در جهت عرض کانال، در پایین دست این پشته رسوبی نیز آبستگي به وقوع می‌پیوندد و باعث ایجاد چاله دوم آبستگي (ناحیه B از شکل ۲-۲ ب) می‌شود. البته رسوبهای با ارتفاع بیشتر از بستر اولیه - که به موازات چاله آبستگي دوم و معمولاً در ساحل داخلی تشکیل می‌شوند - نیز به دلیل کاهش سطح مقطع جریان و افزایش سرعت جریان در تشکیل چاله آبستگي دوم مؤثر است. در چاله دوم آبستگي نیز مکانیزم حرکت رسوبات تقریباً مشابه با چاله اصلی آبستگي می‌باشد و تا وقتی که نیروی ناشی از جریان و گردابه‌های ایجاد شده بر وزن ذره رسوبی غلبه پیدا کند، رسوبها از درون این چاله آبستگي با نرخی شبیه به چاله آبستگي اصلی و در طی زمان تعادل خارج می‌شود. در شکل ۲-۲ ب تجمع رسوبهای خروجی از چاله آبستگي دوم با حرف C نشان داده شده است. دسته دوم رسوبها بر روی شیب عرضی چاله آبستگي و به صورت مورب به سمت ساحل داخلی حرکت می‌کند. این دسته از رسوبها - که به دلیل قویتر شدن مؤلفه سرعت عرضی در لایه‌های نزدیک بستر ناشی از جداشدگی جریان و در نتیجه جریان ثانویه قویتر (نسبت به قوس تنها) شکل می‌گیرد - باعث حرکت بخش بزرگی از رسوبها به سمت ساحل داخلی می‌شود. این رسوبها بسته به پارامترهای مختلف تأثیر گذار نظیر شعاع انحناى قوس، موقعیت استقرار آبشکن و غیره با زوایای مختلف نسبت به افق حرکت کرده و در فواصل مختلف نسبت به آبشکن به ساحل داخلی برخورد می‌کند و پس از رسیدن به ساحل داخلی، پشته رسوبی تشکیل می‌دهد و به سمت پایین دست حرکت می‌کند (ناحیه D در شکل ۲-۲ ج).

با توجه به سرعت کمتر حرکت رسوبها در این مسیر و ناشی از برخورد با ساحل داخلی، ارتفاع رسوبها در



ب- ساحل خارجی



الف- چاله آبستگي



د- مسیر مستقیم پایین دست



ج- ساحل داخلی

شکل ۲ نمونه‌ای از تغییرات توپوگرافی بستر پس از زمان تعادل برای آبشکن منفرد ($L=t=0.2B$) در موقعیت ۴۵ درجه از قوس ملایم

سه شعاع انحنای مختلف (تند $R=2B$ ، متوسط $R=3B$ و ملایم $R=4B$) استفاده شد. برای این منظور آبشکن در موقعیت‌های مختلف (۳۰، ۴۵، ۶۰ و ۷۵ درجه) این سه قوس مستقر شده و پروفیل بستر در پایان زمان تعادل برداشت شد. مشاهدات آزمایشهای انجام شده دلالت بر تأثیر عواملی نظیر جریان ورود از مسیر مستقیم بالادست و زاویه برخورد آنها با آبشکن مستقر در موقعیت‌های مختلف از سه قوس و تأثیر جریان در مسیر مستقیم پایین‌دست بر جریان پیرامون آبشکن و در نتیجه میزان آبستگي دارد.

مشاهدات بیانگر افزایش زاویه برخورد خطوط جریان به آبشکن نسبت به افق با تغییر موقعیت استقرار آبشکن به

در شکل ۲- الف نیز چاله آبستگي پیرامون آبشکن و خطوط همتراز بستر در پایان زمان تعادل و تأثیر شکل آبشکن (شکل T) بر کاهش آبستگي پایین‌دست مشاهده می‌شود.

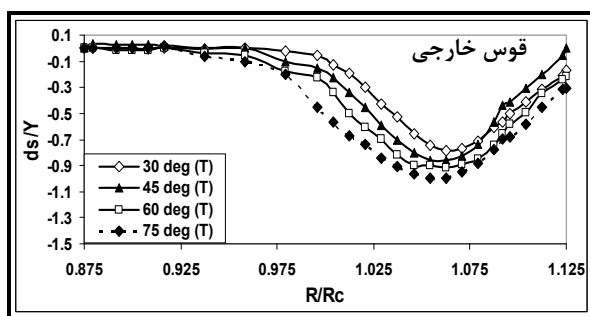
۴- نتایج

با تغییر موقعیت آبشکن به سمت پایین‌دست قوس، تنش‌های برشی بستر، به دلیل افزایش سرعت جریان بیشتر شده و همچنین به دلیل افزایش قدرت جریانهای عرضی ناشی از جداسدگی جریان بالادست آبشکن، ابعاد چاله آبستگي و عمق آبستگي بیشینه افزایش می‌یابد. به‌منظور تعیین تأثیر شعاع انحنای قوس و همچنین موقعیت استقرار آبشکن بر الگوی جریان و آبستگي از

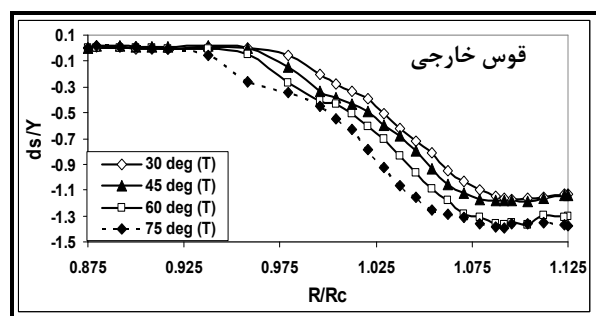
انحنای قوس، R_c شعاع مرکزی انحنای قوس، ds عمق آبستگي موضعی در هر نقطه و Y عمق جریان در ابتدای قوس است. این شکل بیانگر تشابه در شکل و هندسه چاله آبستگي در مورد آبشکن‌های T شکل بوده و نشان می‌دهد که چاله آبستگي، شیب عرضی تقریباً ثابتی در جهت قوس داخلی دارد. در بالادست آبشکن‌ها (شکل ۳-ب) الف) با تغییر موقعیت استقرار آبشکن به سمت انتهای قوس، به دلیل افزایش مؤلفه عرضی سرعت و همچنین تغییر مکان هندسی سرعت حداکثر به سمت ساحل خارجی، ابعاد چاله آبستگي گسترش یافته است. در پایین‌دست آبشکن نیز (شکل ۳-ب)، ضمن مشاهده اختلاف مشهود آبستگي با مقطع بالادست آبشکن‌ها (شکل ۳-الف) به دلیل تأثیر شکل هندسی آبشکن (T شکل) در موقعیت مشابه، افزایش آبستگي با تغییر موقعیت استقرار آبشکن به سمت انتهای قوس مشاهده می‌شود که دلیل آن، کاهش رسوبهای دسته اول (شرح داده شده در بخش سازوکار الگوی جریان و آبستگي) است.

سمت انتهای قوس است. این افزایش زاویه، دلالت بر وجود جریانهای عرضی قویتر داشته و یکی از دلایل افزایش ابعاد چاله آبستگي با تغییر موقعیت آبشکن به سمت انتهای قوس (افزایش ۱۳، ۱۶ و ۲۰ درصدی در عمق آبستگي حداکثر، طول چاله آبستگي در بالادست و عرض چاله آبستگي) است. این روند در دو قوس دیگر نیز با تغییر موقعیت آبشکن به سمت انتهای قوس مشاهده می‌شود و کاهش در میزان انحراف خطوط جریان، بیانگر کاهش قدرت جریانهای عرضی است که نتیجه آن، مشاهده کاهش نرخ در افزایش ابعاد چاله آبستگي با تغییر موقعیت استقرار آبشکن به سمت انتهای قوس (افزایش ۷، ۱۰ و ۸ درصدی عمق آبستگي حداکثر، طول چاله آبستگي در بالادست و عرض چاله آبستگي به در قوس تند) نسبت به آبشکن‌های مستقر در قوس ملایم است.

در شکل ۳ نمونه‌ای از تغییرات عرضی توپوگرافی بستر در مقطعی به فاصله ۰/۲۵ طول آبشکن در بالادست و پایین‌دست آبشکن‌های مستقر در موقعیت‌های مختلف از قوس ملایم نشان داده شده است. در این شکل R شعاع



ب- پایین دست

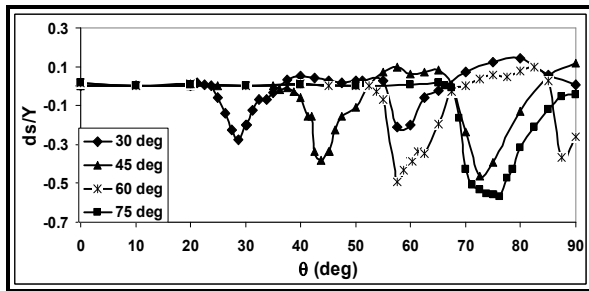


الف- بالادست

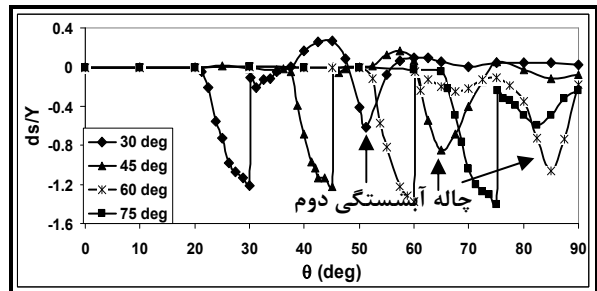
شکل ۳ نمونه‌ای از مقاطع عرضی بدون بعد بستر به فاصله معادل ۰/۲۵ برابر طول آبشکن برای آبشکن مستقر در موقعیت‌های مختلف از قوس ملایم

است. در مقطع طولی عبوری از وسط کانال (شکل ۴-ب) نیز گسترش چاله آبستگي به سمت ساحل داخلی با تغییر موقعیت آبشکن به سمت انتهای قوس به دلیل افزایش مؤلفه عرضی سرعت ناشی از افزایش زاویه برخورد جریان بالادست نسبت به افق به آبشکن مشهود است. ضمن اینکه گسترش چاله آبستگي دوم در عرض کانال نیز در مورد آبشکن‌های مستقر در نیمه اول قوس به دلیل وقوع آنها در طول قوس و عدم تأثیر مسیر مستقیم پایین دست بر حرکت متقارن رسوبات مشاهده می‌گردد. شکل ۵ نیز نمونه‌ای از مقاطع طولی توپوگرافی بستر در فاصله ۵ و ۵۰ درصد عرض کانال از ساحل خارجی قوس تند است.

در شکل ۴ نمونه‌ای از مقاطع طولی توپوگرافی بستر برای آبشکن مستقر در موقعیت‌های مختلف از قوس ملایم ارائه شده است. در مقطع به فاصله ۵ درصد عرض کانال از ساحل خارجی (شکل ۴-الف) چاله آبستگي اصلی پیرامون آبشکن‌ها مشاهده می‌شود که حکایت از تشابه پروفیل طولی بستر در موقعیت‌های مختلف استقرار آبشکن در طول قوس دارد. در این شکل عدم آبستگي در نزدیکی ساحل خارجی پایین دست برای آبشکن‌های مستقر در نیمه اول قوس و آبستگي اندک برای آبشکن‌های مستقر در نیمه دوم قوس مشهود است که دلیل آن، تغییر مکان هندسی سرعت‌های حداکثر به طرف ساحل خارجی در نیمه دوم قوس و افزایش تنش برشی

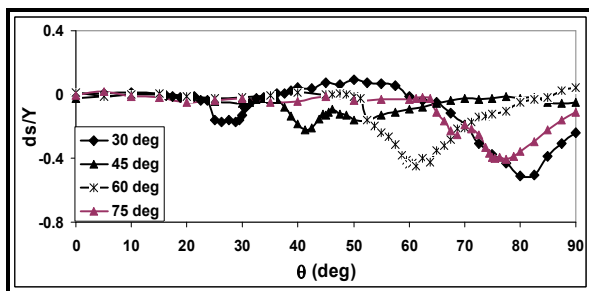


ب- فاصله ۵۰ درصد عرض کانال، از ساحل خارجی

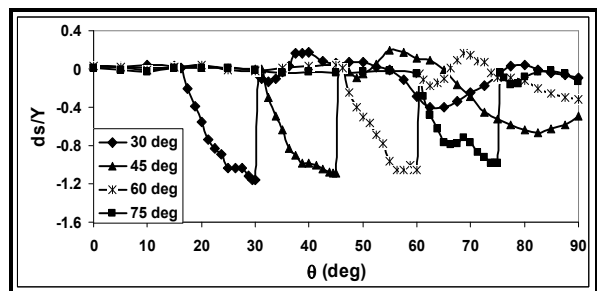


الف- فاصله ۵ درصد عرض کانال

شکل ۴ نمونه‌ای از مقاطع طولی بدون بعد توپوگرافی بستر برای آبشکن مستقر در موقعیت‌های مختلف از قوس ملایم



ب- فاصله ۵۰ درصد عرض کانال، از ساحل خارجی



الف- فاصله ۵ درصد عرض کانال

شکل ۵ نمونه‌ای از مقاطع طولی بدون بعد توپوگرافی بستر برای آبشکن مستقر در موقعیت‌های مختلف از قوس تند

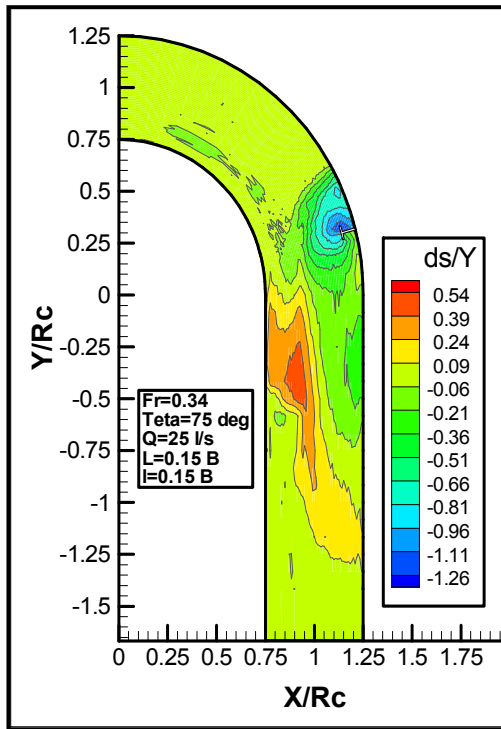
(شکل‌های ۶-ج و ۶-د) است که با تغییر موقعیت استقرار آبشکن به سمت انتهای قوس، حرکت رسوبها به شکل متقارن‌تری در عرض کانال مشاهده می‌شود. ضمن این که چاله آبشستگی دوم نیز در آبشکن مستقر در موقعیت ۷۵ درجه به علت حرکت سریع‌تر رسوبهای دسته اول و ورود آنها به داخل چاله آبشستگی دوم با کاهش عمق همراه خواهد بود. این روند در مورد آبشکن‌های مستقر در قوس تند نیز با تغییر موقعیت آبشکن (شکل‌های ۶-الف و ۶-ب) مشاهده می‌شود. با استقرار آبشکن در هر یک از این قوس‌ها و با توجه به جریانهای پیچیده اطراف آبشکن و اندرکنش آنها با جریانهای موجود در قوس (بسته به شعاع انحنا) تغییراتی در الگوی جریان و آبشستگی پیرامون آبشکن ایجاد می‌شود که باعث ایجاد تفاوت‌هایی در مقادیر آبشستگی و رسوبگذاری خواهد بود. نمونه‌ای از تغییرات پارامترهای چاله آبشستگی و توپوگرافی بستر در شکل ۷ ارائه شده است. در این شکل d_{m1} عمق حداکثر آبشستگی، θ موقعیت استقرار آبشکن، B عرض کانال، a عرض حداکثر چاله آبشستگی، d_{ss} عمق حداکثر چاله آبشستگی دوم و h ارتفاع حداکثر رسوبها است.

تغییرات عمق آبشستگی حداکثر (شکل ۷-الف) بیانگر افزایش این پارامتر با تغییر موقعیت استقرار آبشکن به سمت انتهای قوس بنا به دلایل ذکر شده است. در قوس تند و در حالت استقرار آبشکن در موقعیت ۴۵ درجه، حداکثر عمق آبشستگی، با کاهش نسبت به موقعیت ۳۰ درجه روبه‌رو شده که دلیل آن برخورد خطوط جریان از مسیر مستقیم بالادست به محدوده استقرار آبشکن (۴۰ تا ۵۰ درجه) نسبت به قوس ملایم (۲۵ تا ۳۰ درجه) است.

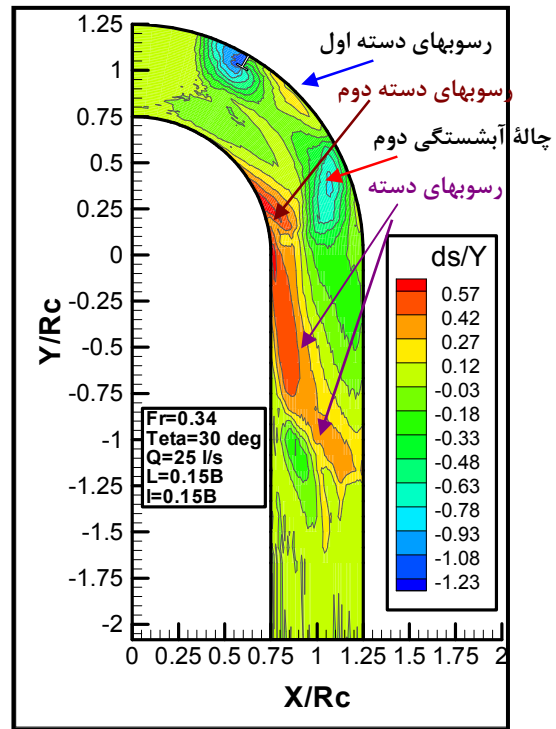
همان‌طور که مشاهده می‌شود، روند تغییرات مشابه قوس ملایم و با مقادیر کمتر آبشستگی ناشی از تأثیر شعاع انحنای قوس بوده که در ادامه دلایل آن ذکر می‌شود.

با نصب آبشکن در موقعیت‌های یکسان از سه قوس، قدرت جریان ثانویه در قوس ملایم، مقدار بیشتری نسبت به قوس تند دارد. دلیل این پدیده، افزایش بیشتر سطح آب در بالادست آبشکن در قوس تند نسبت به دو قوس دیگر و ناشی از انحنای شدید و نیز کاهش مؤلفه عرضی سرعت به دلیل برخورد مستقیم جریان از مسیر مستقیم بالادست قوس است. در قوس تند به دلیل طول کوچکتر قوس نسبت به قوس ملایم، قسمتی از خطوط جریان وارد شده از مسیر مستقیم بالادست، به ناحیه جداشدگی جریان پیرامون آبشکن برخورد می‌کند که این باعث کاهش مؤلفه عرضی سرعت و در نتیجه کاهش قدرت جریان ثانویه می‌شود. لازم است ذکر شود که پدیده یاد شده برای آبشکن‌های مستقر در نیمه اول قوس تند، مشهودتر است. حال با توجه به دلایل ذکر شده، میزان آبشستگی در قوس ملایم و در مقاطع مشابه از دو قوس دیگر، بیشتر است. همچنین شکل‌گیری مکان هندسی سرعت حداکثر در نزدیکی ساحل داخلی در قوس تند و تأثیر مضاعف آبشکن بر این موضوع نیز، برخی از مسائل حائز اهمیت است.

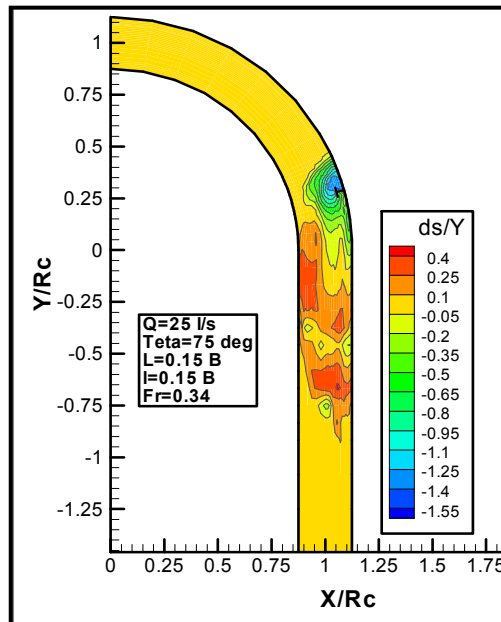
شکل ۶ نمونه‌ای از تغییرات توپوگرافی بستر را برای آبشکن‌های مستقر در ابتدا و انتهای دو قوس تند و ملایم نشان می‌دهد. در این شکل F_r عدد فرود جریان، Q دبی جریان، L طول آبشکن و l طول بال آبشکن است. بررسی اثر موقعیت آبشکن بر تغییرات توپوگرافی بستر بیانگر حرکت رسوبها در سه دسته ذکر شده در قوس ملایم



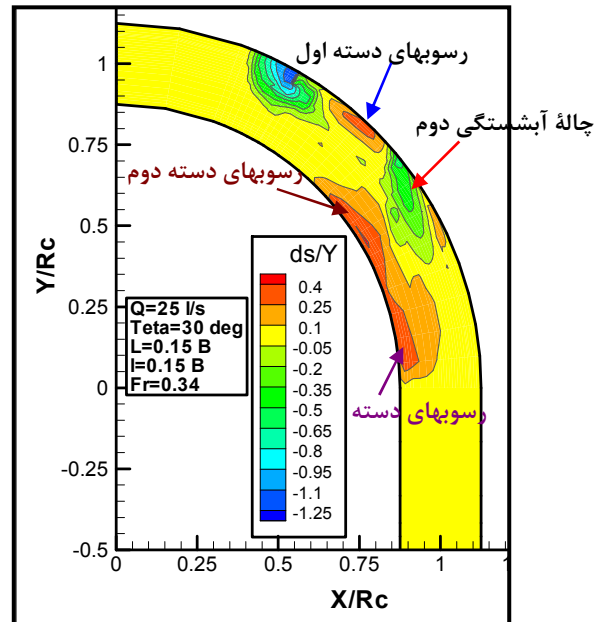
ب- قوس تند، موقعیت ۷۵ درجه



الف- قوس تند، موقعیت ۳۰ درجه



د- قوس ملایم، موقعیت ۷۵ درجه



ج- قوس ملایم، موقعیت ۳۰ درجه

شکل ۶ نمونه‌ای از توپوگرافی بدون بعد بستر برای آبشکن مستقر در موقعیت ۳۰ و ۷۵ درجه

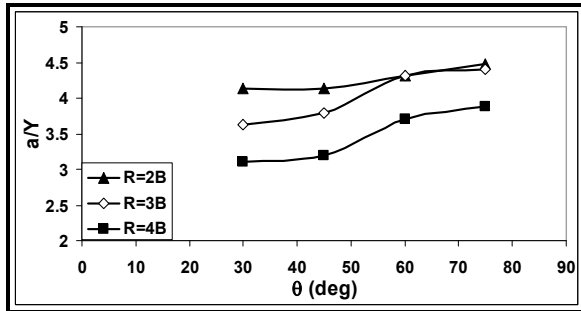
که باعث افزایش ارتفاع رسوبهای حداکثر (شکل ۷-د) در نزدیکی ساحل داخلی در قوس تند نسبت به دو قوس دیگر می‌شود. روند تغییرات ارتفاع حداکثر رسوبها نیز با استقرار آبشکن تا نیمه قوس، صعودی و سپس نزولی (شکل ۷-د) بوده که دلیل آن تأثیر جریان در مسیر مستقیم پایین دست قوس بر حرکت رسوبها و توزیع متقارن آن در عرض کانال است.

شکل ۸ نمونه‌ای از تغییرات عرضی توپوگرافی بستر در مقطعی به فاصله ۰/۲۵ طول آبشکن در بالادست و پایین دست آبشکن مستقر در موقعیت ۴۵ درجه را نشان می‌دهد. روشن است که با افزایش شعاع انحنای قوس، عمق چاله آبشستگی افزایش یافته است. در بالادست آبشکن مستقر در قوس تند و در نزدیکی ساحل خارجی، چاله آبشستگی به دلیل شکل‌گیری سرعت حداکثر در نزدیکی ساحل داخلی و از ابتدای قوس شکل کاسه‌ای (محدوده A) پیدا کرده است. همچنین در نزدیکی ساحل داخلی و در قوس تند، رسوبگذاری مشاهده می‌شود که این رسوبها ناشی از تأثیر مکان هندسی سرعت حداکثر در مجاورت ناحیه رسوبگذاری شده و حرکت عرضی قسمتی از رسوبهای دسته سوم به این سمت است.

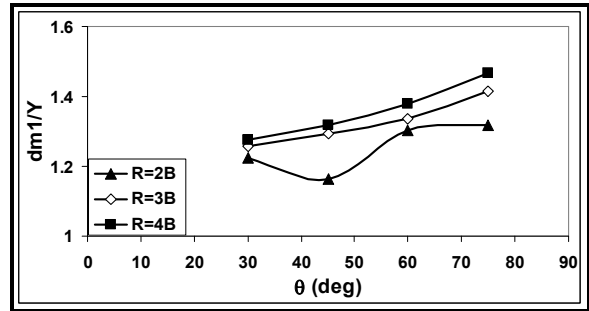
نکته جالب دیگر این است که در فاصله ساحل خارجی تا حدود محورکانال، میزان آبشستگی با افزایش شعاع انحنای قوس، افزایش می‌یابد و از آنجا تا حدود ۱۰ درصد عرض کانال، گسترش چاله آبشستگی با کاهش شعاع انحنای قوس (و به‌طور مشخص در قوس تند) مشهودتر است و در فاصله ۱۰ درصد عرض کانال تا نزدیک ساحل داخلی، با کاهش شعاع انحنای قوس رسوبگذاری مشاهده می‌شود. در واقع گسترش چاله آبشستگی در عرض کانال برای قوس تند با دو شیب همراه است.

در این ناحیه مؤلفه سرعت عرضی به سمت ساحل خارجی و ناشی از جریان ورودی از مسیر مستقیم بالادست وجود داشته و در تقابل با جریانهای قوی عرضی خروجی از چاله آبشستگی و در لایه نزدیک بستر، از قدرت جریانهای عرضی کاسته شده و باعث کند شدن حرکت رسوبها، به‌خصوص دسته سوم رسوبها و سقوط مجدد بعضی از ذرات رسوب ناپایدار به سمت چاله آبشستگی می‌شود. این پدیده همان‌طور که مشاهده می‌شود، بر عمق حداکثر چاله آبشستگی نیز تأثیرگذار است.

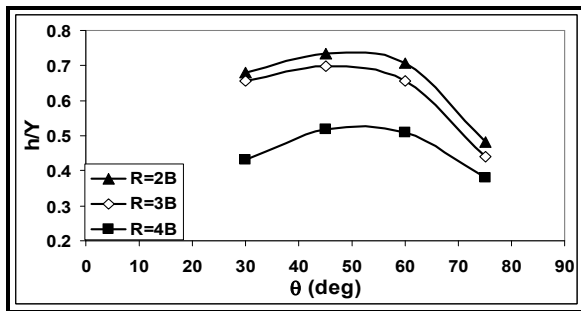
میزان پیشروی چاله آبشستگی در عرض کانال (شکل ۷-ب) نیز با تغییر موقعیت استقرار آبشکن به سمت انتهای قوس، به دلایل ذکر شده (افزایش تنش برشی و جریانهای عرضی) افزایش می‌یابد. در شکل ۷-ج نیز تغییرات عمق چاله آبشستگی دوم در موقعیت‌های مختلف بیانگر افزایش این عمق تا آبشکن مستقر در موقعیت ۶۰ درجه و سپس کاهش در موقعیت ۷۵ درجه در دو قوس ملایم و متوسط است. در صورتی که در قوس تند با تغییر موقعیت آبشکن به سمت انتهای قوس این پارامتر تغییرات نزولی را از خود نشان می‌دهد که دلیل آن، تمایل محدوده سرعت حداکثر و در نتیجه تنش برشی حداکثر به سمت قوس داخلی است و این مسأله باعث افزایش رسوبهای دسته سوم نسبت به دو دسته دیگر در قوس تند و ورود قسمتی از این رسوبها به چاله آبشستگی دوم و کاهش رسوبهای دسته اول و در نتیجه کاهش قدرت ریزش جریان از روی رسوبهای دسته اول به سطح بستر اولیه (در تشکیل چاله آبشستگی دوم) می‌شود. همچنین محدوده سرعت حداکثر در قوس تند و تمایل آن به سمت قوس داخلی، باعث حرکت سریع‌تر رسوبهای دسته سوم به سمت پایین دست و کاهش شیب چاله آبشستگی به سمت قوس داخلی یا افزایش عرض حداکثر چاله آبشستگی (شکل ۷-ب) می‌شود. ضمن این



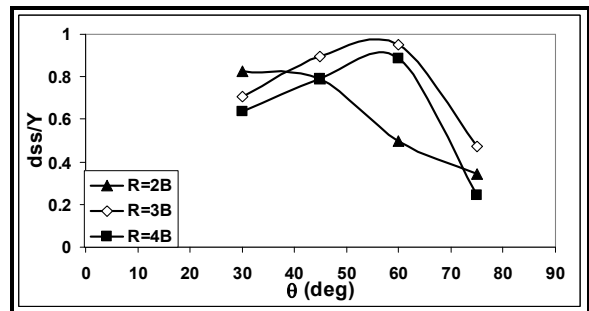
ب- عرض حداکثر چاله آبستگي



الف- عمق آبستگي حداکثر

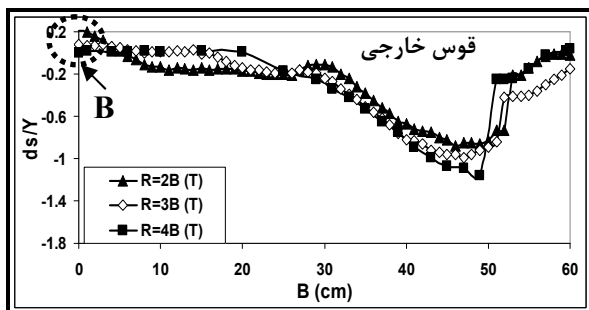


د- ارتفاع حداکثر رسوبها

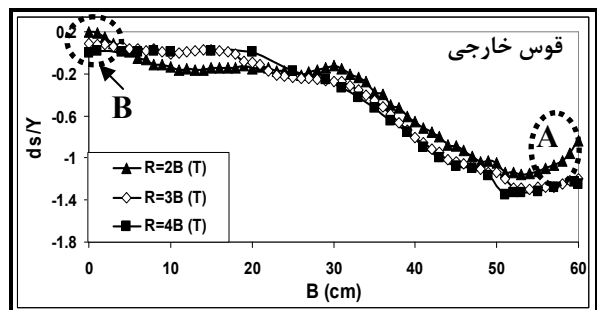


ج- عمق حداکثر چاله آبستگي دوم

شکل ۷ تغییرات بدون بعد پارامترهای توپوگرافی بستر برای آبشکن‌های مستقر در قوس‌های با شعاع انحنای متفاوت در برابر موقعیت استقرار آبشکن (عدد فرود ۰/۳۴)



ب- پایین دست



الف- بالادست

شکل ۸ نمونه‌ای از مقاطع عرضی بستر به فاصله معادل ۰/۳۵ برابر طول آبشکن برای آبشکن مستقر در موقعیت ۴۵ درجه از قوس‌های ملایم، متوسط و تند

ب) بیانگر گسترش بیشتر چاله آبستگي به سمت پایین دست با کاهش شعاع انحنای قوس است. همچنین چاله آبستگي دوم در قوس ملایم در فاصله بیشتری از آبشکن تشکیل شده، درحالی‌که در دو قوس دیگر، محل

در شکل ۹ نمونه‌ای از مقاطع طولی برای آبشکن مستقر در موقعیت ۴۵ درجه از سه قوس ارائه شده که بیانگر افزایش آبستگي حداکثر در قوس ملایم نسبت به دو قوس دیگر (شکل ۹-الف)) است در حالیکه شکل (۹-۹)

شعاع انحنای قوس، افزایش در مقدار عمق آبستگي حداکثر در تمامی موقعیت‌های استقرار آبشکن (شکل ۱۱- الف) دیده می‌شود (به جز مقدار حداقل این پارامتر در قوس تند و در موقعیت ۴۵ درجه که قبلاً دلایل آن بیان شد).

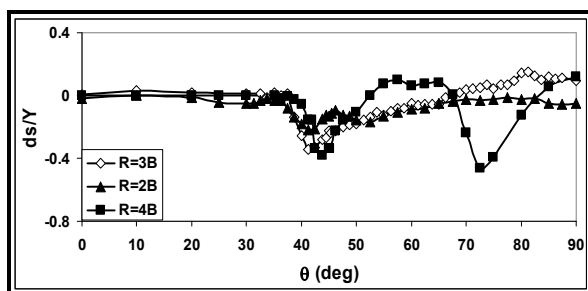
با کاهش شعاع انحنای قوس، به دلیل نزدیکی مکان هندسی سرعت حداکثر به ساحل داخلی، از رسوبهای دسته اول و سوم کاسته شده (شکل ۱۰- الف) و به رسوبهای دسته دوم افزوده می‌شود. این پدیده با توجه به برخورد رسوبها به ساحل داخلی و کاهش نرخ حرکت آنها در پایین دست، افزایش ارتفاع رسوبگذاری را در پی دارد (شکل ۱۱- د). البته در حالت استقرار آبشکن در موقعیت ۷۵ درجه، به دلیل حرکت متقارن رسوبها در مسیر مستقیم پایین دست، کاهش چشمگیری در حداکثر ارتفاع رسوبها مشاهده می‌شود.

با کاهش شعاع انحنای قوس در نزدیکی ساحل داخلی و در جلوی بال آبشکن، به دلیل حرکت سریع تر رسوبهای دسته سوم، گسترش چاله آبستگي به سمت ساحل داخلی به طور محسوس بیشتر است (شکل ۱۰- الف). مقایسه مقادیر حداکثر عرض چاله آبستگي در شکل ۱۱- ب نیز بر این موضوع دلالت دارد.

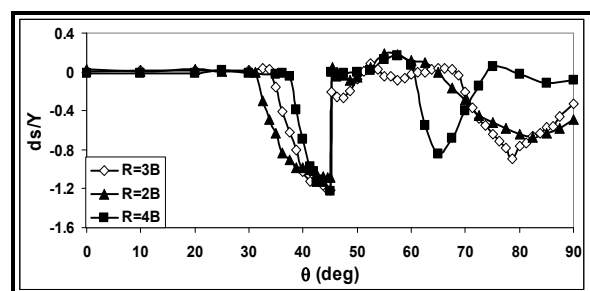
تشکیل آن به انتهای قوس نزدیک تر است (شکل ۹- الف)، که دلیل آن کوتاه بودن طول قوس است؛ ضمن اینکه گسترش چاله آبستگي دوم به سمت ساحل داخلی در قوس ملایم (شکل ۹- ب) به دلیل نزدیکی بیشتر رسوبهای دسته اول و سوم در عرض کانال به یکدیگر و افزایش سرعت در لایه‌های نزدیک بستر و در پایین دست آنها بیشتر است. لازم است ذکر شود که با تغییر موقعیت استقرار آبشکن‌ها به سمت انتهای قوس، تغییرات ذکر شده برای سه قوس مشاهده می‌شود.

شعاع‌های انحنای متفاوت قوس و تغییرات ذکر شده ناشی از آن در الگوی جریان و آبستگي باعث ایجاد تغییراتی در توپوگرافی بستر در پایان زمان تعادل می‌شود. شکل ۱۰ نمونه‌ای از تغییرات توپوگرافی بستر در پایان زمان تعادل و برای آبشکن مستقر در موقعیت ۴۵ درجه و شکل ۱۱ تغییرات پارامترهای توپوگرافی بستر را نشان می‌دهد. لازم است ذکر شود که نمایه شکل ۱۰ بیانگر محدوده بین تراز بیشترین میزان آبستگي و رسوبگذاری بی بعد شده با عمق جریان در بالادست قوس است.

به عنوان مثال در شکل ۱۰- ج، عدد ۰/۵۵ نشان دهنده ارتفاع حداکثر رسوبگذاری در پایان زمان تعادل و عدد ۱/۴- نشان دهنده عمق حداکثر آبستگي است. با افزایش

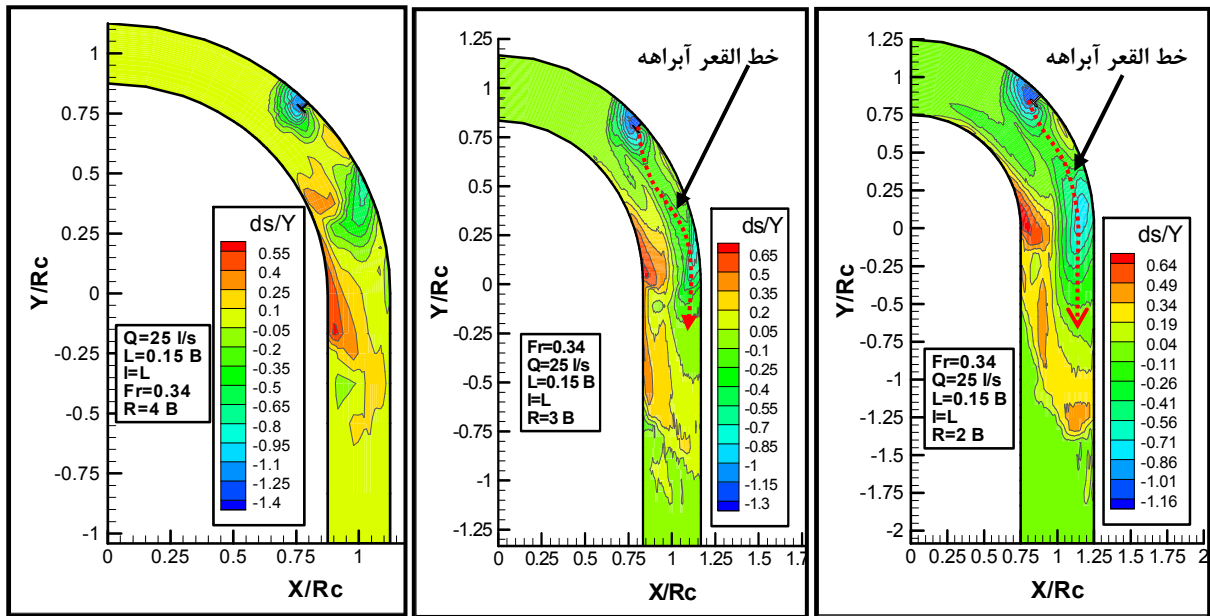


ب- ۵۰ درصد عرض کانال، از ساحل خارجی



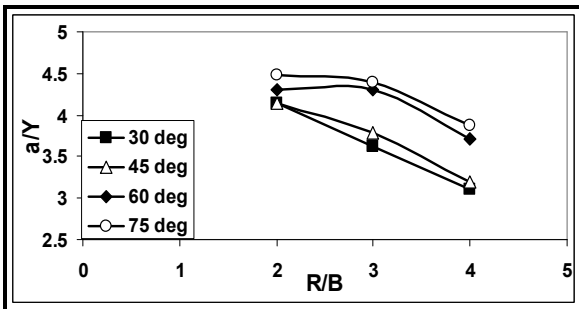
الف- ۵ درصد عرض کانال

شکل ۹ نمونه‌ای از مقاطع طولی بدون بعد توپوگرافی بستر برای آبشکن مستقر در موقعیت ۴۵ درجه در سه قوس تند، متوسط و ملایم

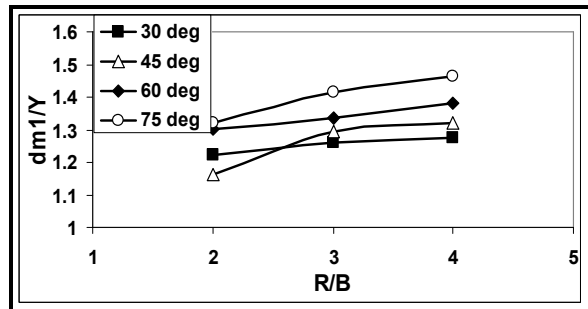


الف- قوس تند ب- قوس متوسط ج- قوس ملایم

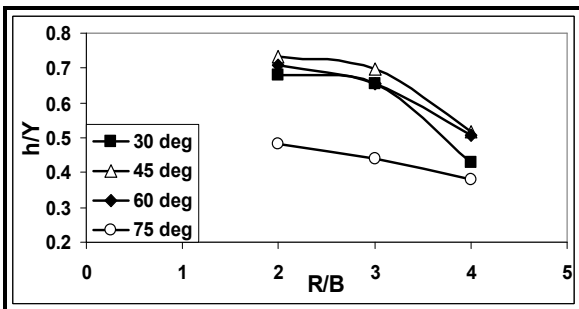
شکل ۱۰ توپوگرافی بستر برای آبشکن مستقر در موقعیت ۴۵ درجه و برای قوس های مختلف



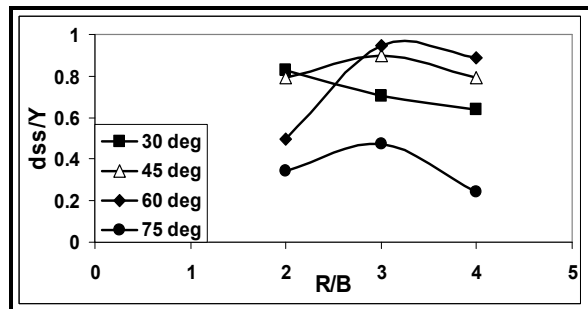
ب- حداکثر عرض چاله آبشستگی



الف- حداکثر عمق آبشستگی



د- حداکثر ارتفاع رسوبها



ج- عمق حداکثر چاله آبشستگی دوم

شکل ۱۱ تغییرات بدون بعد پارامترهای توپوگرافی بستر برای آبشکن مستقر در موقعیت های متفاوت

در برابر شعاع انحنا (عدد فرود ۰/۳۴)

بالادست آن بیشتر باشد (به دلیل افزایش سرعت)، چاله آبشستگی دوم عمیق تر می شود. ضمن این که در موقعیت استقرار آبشکن در زاویه ۷۵ درجه، به دلیل شروع تشکیل چاله دوم آبشستگی در مسیر مستقیم پایین دست (به دلیل حرکت سریع رسوبها و ریزش به درون چاله)، عمق چاله آبشستگی در پایان زمان تعادل کاهش می یابد. با توجه به عوامل ذکر شده در موقعیت های مختلف استقرار آبشکن و در شعاع های انحنای متفاوت، نمودار تغییرات آن در شکل ۱۱- ج نشان داده شده است.

۵- نتیجه گیری

در این مقاله به بررسی تغییرات آبشستگی پیرامون آبشکن T شکل و توپوگرافی بستر تحت تأثیر تغییر موقعیت استقرار آبشکن در طول قوس و همچنین تأثیر شعاع انحنای قوس پرداخته و نتایج زیر حاصل شد:

- سازوکار حرکت رسوبهای جدا شده در بالادست آبشکن و ناشی از آبشستگی موضعی، بیانگر حرکت رسوبها در سه دسته اصلی است که با تغییر دو پارامتر موقعیت استقرار آبشکن و شعاع انحنای قوس تفاوت هایی در نحوه حرکت آنها و شکل گیری توپوگرافی در پایین دست آبشکن مشاهده می شود.

- با تغییر موقعیت استقرار آبشکن به سمت انتهای قوس زاویه برخورد خطوط جریان به آبشکن نسبت به افق افزایش می یابد و در نتیجه ابعاد چاله آبشستگی و حداکثر عمق آبشستگی افزایش می یابد.

- اختلاف آشکار در میزان آبشستگی در مقاطع بالادست و پایین دست آبشکن بیانگر تأثیر هندسه آبشکن در کاهش رسوبگذاری به خصوص در پایین دست آبشکن ها است.

- بررسی پروفیل های طولی بستر در موقعیت های مختلف استقرار آبشکن در طول قوس بیانگر عدم آبشستگی در

نکته جالب دیگر افزایش پیشروی چاله آبشستگی به سمت پایین دست با کاهش شعاع انحنای قوس است که دلیل آن افزایش سرعت جریان در نیمه دوم قوس تند در مقایسه با قوس ملایم است.

اندازه گیری تراز جریان، بر افزایش عمق آب در نیمه اول قوس تند نسبت به قوس ملایم ناشی از برخورد مستقیم جریان از مسیر مستقیم بالادست دلالت دارد (که در موقعیت استقرار آبشکن در زاویه ۴۵ درجه محسوس تر نیز هست). در نیمه دوم قوس تند، کاهش تراز جریان ناشی از تأثیر مسیر مستقیم پایین دست، محسوس تر از قوس ملایم است که استقرار آبشکن و تنگ شدگی ایجاد شده نیز بر کاهش تراز آب در پایین دست می افزاید. به همین دلیل، گرادیان منفی فشار در پایین دست آبشکن ایجاد می شود که به افزایش سرعت جریان و در نتیجه تنش برشی و بالاخره حرکت سریع تر رسوبها منجر می شود. در شکل ۱۰ نیز چاله های دوم آبشستگی ایجاد شده بر این موضوع دلالت دارند. همچنین این پدیده باعث پیدایش خط القعر آبراهه در دو قوس متوسط و تند می شود و هرچه شعاع انحنای قوس کمتر باشد تشکیل خط القعر مشهودتر است. همچنین هرچه محل تشکیل چاله آبشستگی دوم به انتهای قوس نزدیکتر باشد (به دلیل افزایش سرعت در انتهای قوس و همچنین تغییرات مکان هندسی سرعت حداکثر در قوس ها)، عمق چاله آبشستگی دوم بیشتر است. لازم است ذکر شود که در قوس ملایم خط القعر آبراهه تشکیل نمی شود که دلیل آن، عدم برخورد خطوط جریان از مسیر مستقیم بالادست به محدوده آبشکن و پایین دست آن نسبت به دو قوس دیگر است. همچنین هرچه میزان رسوبگذاری در اطراف و پایین دست چاله دوم زیادتر شود (به دلیل ریزش جریان از روی رسوبها به درون چاله) و میزان تنگ شدگی مقطع در

- با کاهش شعاع انحنا قوس، پیشروی چاله آبستنگی به سمت پایین دست افزایش می‌یابد که دلیل آن افزایش سرعت جریان در نیمه دوم قوس تند در مقایسه با قوس ملایم است.

۶- فهرست علائم

ds	عمق آبستنگی در هر نقطه
Y	عمق جریان در ابتدای قوس
R	شعاع انحنا قوس در هر نقطه از عرض کانال
Rc	شعاع انحنا قوس در مرکز کانال
θ	موقعیت استقرار آبشکن
Fr	عدد فرود جریان
Q	دبی جریان
L	طول آبشکن
l	طول بال آبشکن
B	عرض کانال
a	عرض حداکثر چاله آبستنگی
h	ارتفاع حداکثر رسوبهای پایین دست
dm ₁	عمق حداکثر آبستنگی پیرامون آبشکن
d _{ss}	عمق حداکثر آبستنگی چاله آبستنگی دوم

۷- منابع

- Ahmad, M. (1953). Experiments on design and behavior of spur dikes, Proc. of IAHR Cong., p. 145.
- Ahmad, M. (1951). Spacing and protection of spurs for bank protection. Civil Engineering and Publication Review, pp. 3-7.
- Giri, S., Shimizu, Y. and Surajata, B. (2004). Laboratory measurement and numerical simulation of flow and turbulence in a meandering-like flume with spurs. Flow Measurement and Instrumentation, 15, pp. 301-309.

نزدیکی ساحل خارجی پایین دست برای آبشکن‌های مستقر در نیمه اول قوس و آبستنگی اندک برای آبشکن‌های مستقر در نیمه دوم قوس است.

- با تغییر موقعیت استقرار آبشکن به سمت انتهای قوس حرکت رسوبهای به صورت متقارن تر در عرض کانال مشاهده می‌شود. ضمن این که چاله آبستنگی دوم نیز در مورد آبشکن مستقر در موقعیت ۷۵ درجه با کاهش عمق همراه است. این روند در مورد آبشکن‌های مستقر در قوس تند نیز با تغییر موقعیت آبشکن به سمت انتهای قوس مشاهده می‌شود.

- محدوده سرعت حداکثر در قوس تند و تمایل آن به سمت قوس داخلی باعث حرکت سریع تر رسوبهای دسته سوم به سمت پایین دست، و کاهش شیب چاله آبستنگی به سمت قوس داخلی یا افزایش عرض حداکثر چاله می‌شود؛ ضمن این که باعث افزایش حداکثر ارتفاع رسوبها در نزدیکی ساحل داخلی در قوس تند نسبت به دو قوس دیگر می‌شود. روند تغییرات ارتفاع حداکثر رسوبها نیز با استقرار آبشکن تا نیمه قوس صعودی و سپس نزولی بوده که دلیل آن تأثیر جریان در مسیر مستقیم پایین دست قوس بر حرکت رسوبها و توزیع متقارن آن در عرض کانال است.

- در فاصله ساحل خارجی تا حدود محور کانال میزان آبستنگی با افزایش شعاع انحنا قوس، افزایش می‌یابد و از آنجا تا حدود ۱۰ درصد عرض کانال، گسترش چاله آبستنگی با کاهش شعاع انحنا قوس (و به طور مشخص در قوس تند) مشهودتر است. در فاصله ۱۰ درصد عرض کانال تا نزدیک ساحل داخلی، با کاهش شعاع انحنا قوس، رسوبگذاری مشاهده می‌شود. گسترش چاله آبستنگی در عرض کانال برای قوس تند با دو شیب همراه است.

Ghodsian M., Vaghefi M. and Salehi S.A. (2009). Experimental study on scour and flow field in a scour hole around a T shaped spur dike in a 90° bend. *International Journal of Sediment Research*. Vol.24, No.2, pp. 145-158.

واقفی، م.، قدسیان، م. و صالحی نیشابوری، ع.ا. (۱۳۸۷). "مطالعه آزمایشگاهی الگوی آبستتگی پیرامون آبشکن T شکل مستقر در قوس ۹۰ درجه" مجله تحقیقات منابع آب ایران، سال چهارم، شماره ۳، ص.ص. ۵۷-۶۹.

واقفی، م.، قدسیان، م. و صالحی نیشابوری، ع.ا. (۱۳۸۷). "مطالعه آزمایشگاهی تأثیر هندسه بال آبشکن‌های T شکل مستقر در قوس ۹۰° بر میزان آبستتگی اطراف آنها"، هفتمین کنفرانس ملی هیدرولیک ایران، دانشگاه صنعت آب و برق، تهران.

واقفی، م.، قدسیان، م. و صالحی نیشابوری، ع.ا. (۱۳۸۸). "مطالعه آزمایشگاهی اثر عدد فرود جریان بر الگوی آبستتگی پیرامون آبشکن‌های T شکل مستقر در قوس ۹۰ درجه"، هشتمین کنگره بین المللی مهندسی عمران، دانشگاه شیراز.

Gill, M. A. (1972). Erosion of sand beds around spur dikes. *Journal of Hydraulic Division*, Vol. 98, No. Hy9, pp. 1587-1602.

Mesbahi, J. (1992). On combined scour near groynes in river bends. M.Sc. Thesis., Delft University, Hydraulic Report HH 132.

Soliman, M. M., Attia, K. M., Kotb, Talaat A. M. and Ahmed A. F. (1997). Spur dike effects on the river Nile morphology after high Aswan dam, IAHR Congress, pp. 125-146

Tingsanchali, T. and Maheswaran, S. (1990). 2-D depth-averaged flow computation near groin, *Journal of Hydraulic Engineering*, ASCE, V. 116, N.1, pp. 71-86.

Fazli, M., Ghodsian, M. and Salehi, S.A.A. (2007). Experimental investigation on scour around spur dikes located at different position in a 90° bend. 32nd Congress of IAHR, Venice, Italy.

Forghani M. J., Fazli, M. and Ghodsian, M. (2007). Experimental study on flow field and scouring around a spur dike in ninety degree bend, 32nd Congress of IAHR, Venice, Italy.